

بررسی اثر آگونیست β -آدرنرژیکی ایزوپروترنول بر بیان miR-23a و miR-886-3p در سلول‌های بنیادی مزانشیمی مغز استخوان انسان

هما زمانی^۱، دکتر سعید کاویانی جبلی^۲، دکتر امیر آتشی^۳، فاطمه پرهیزکار^۱

kavianis@modares.ac.ir

نویسنده‌ی مسؤول: تهران، دانشگاه تربیت مدرس، دانشکده‌ی علوم پزشکی، گروه هماتولوژی

درایافت: ۹۳/۶/۸ پذیرش: ۹۳/۳/۱۳

چکیده

زمینه و هدف: تاکنون در مطالعات مختلفی به بررسی موبیلیزاسیون سلول‌های بنیادی خونساز به منظور پیوند و اهمیت سیگنال‌های β -آدرنرژیکی در القای این فرآیند، پرداخته شده است. با این وجود، اطلاعات کمی درباره‌ی نحوه‌ی اثر این سیگنال‌ها در موبیلیزاسیون سلول‌های بنیادی خونساز، موجود است. کمکاین *SDF-1* که توسط سلول‌های بنیادی مزانشیمی مغز استخوان انسان تولید می‌گردد، در روند موبیلیزاسیون سلول‌های بنیادی خونساز نقش کلیدی ایفا می‌کند. همچنین مشخص شده که *miR-23a* و *miR-886-3p* در تنظیم بیان *SDF-1* در سلول‌های مذکور، مؤثر هستند. در این تحقیق به منظور بررسی نقش *miR-23a* و *miR-886-3p* در فرآیند موبیلیزاسیون، میزان کمی هردو *miRNA* مذکور در طی تیمار سلول‌های بنیادی مزانشیمی مغز استخوان انسان با آگونیست β -آدرنرژیکی ایزوپروترنول، مورد ارزیابی قرار گرفت.

روش بررسی: سلول‌های بنیادی مزانشیمی مغز استخوان انسان جداسازی و کشت شده و پس از تایید فلوسیتومتری، تحت تیمار پیوسته با ۱۰۰ میکرومولار ایزوپروترنول قرار گرفتند. استخراج *Total RNA* در ساعت ۱۲ و ۲۴ تیمار و همچنین از سلول‌های بنیادی مزانشیمی تیمار نشده به عنوان کنترل، انجام گرفت. بیان کمی *miR-23a* و *miR-886-3p* با روش *Quantitative Reverse Transcriptase PCR* سنجیده شد.

یافته‌ها: بیان *miR-886-3p* در ساعت ۱۲ و ۲۴ تیمار افزایش داشت که در هر دو حالت، این اختلاف به لحاظ آماری معنی دار بود ($P<0.05$). بیان *miR-23a* نیز در طی تیمار سلول‌های بنیادی مزانشیمی با ایزوپروترنول در ساعت ۱۲ تیمار نسبت به حالت کنترل کاهش یافته و سپس در ساعت ۲۴ پس از تیمار، افزایشی معنی دار را نشان داد ($P<0.05$).

نتیجه‌گیری: ایزوپروترنول بیان *miR-886-3P* را در سلول‌های بنیادی مزانشیمی انسان، القا می‌کند. *miR-23a* نیز علیرغم کاهشی اولیه، تحت اثر القای ایزوپروترنول قرار گرفته و لذت هر دو *miRNA* مذکور می‌توانند، از عوامل دخیل در موبیلیزاسیون باشند.

واژگان کلیدی: سلول‌های بنیادی مزانشیمی، *miR-23a* و *miR-886-3p* ایزوپروترنول

مقدمه

مغز استخوان و همچنین بسیاری از ختلالات خودایمنی و ژنتیکی محسوب می‌شود (۱-۳). امروزه وجود HSC علاوه

پیوند (HSC) روشن درمانی مهمی برای انواع لوسمی و سندروم‌های نارسایی

۱- کارشناسی ارشد هماتولوژی، دانشگاه تربیت مدرس

۲- دکترای تخصصی هماتولوژی، دانشیار دانشگاه تربیت مدرس

۳- دکترای تخصصی هماتولوژی، استادیار دانشگاه تربیت مدرس

یک عامل دارویی در تحقیقات مرتبط با اختلالات قلبی و برخی فرآیندهای درمانی، کاربرد دارد (۱۷ و ۱۸). به کارگیری آگونیست‌های β -آدرنرژیکی موجب کاهش بیان SDF-1 در مغز استخوان می‌شود (۱۴). کموکاین بالقوه‌ای برای HSC انسانی و موشی محسوب می‌شود (۱۴) و به عنوان یک پروتئین ترشحی توسط SDF-1 و گیرنده‌ی آن CXCR4 که توسط سلول‌های مختلفی چون HSC بیان می‌شود، مهاجرت و لانه‌گزینی HSC را مستقیماً در مغز استخوان، تنظیم می‌نماید (۱۴). مطالعات نشان داده که در طی فرآیند موبیلیزاسیون HSC SDF-1 دچار یک تغییر نوسانی می‌گردد؛ به این ترتیب که در ابتدا بیان آن در سلول‌های مزانشیمی به طور گذرا افزایش یافته و موجب القای برخی عوامل اجرایی موبیلیزاسیون همانند آنزیم MMP-9 می‌گردد و در ادامه با غیرفعال‌سازی آنزیم‌های پروتئولیتیکی تولید شده، بیان آن کاهش پیدامی کند (۲۳ و ۲۴) بیان کاهش یافته SDF-1 در MSC و استئوبلاست‌ها و از سوی دیگر، رهاسازی هموستاتیک این کموکاین از مغز استخوان به جریان خون، منجر به موبیلیزاسیون HSC می‌شود (۱۴) علاوه بر اثرات سیستم‌عصبي بیان SDF-1، بیان این کموکاین می‌تواند در مراحل مختلف و با تاثیر عوامل تنظیمي گوناگون هم‌چون فاکتورهای رونویسي (miRNAs یا MicroRNAs) و/یا RNA های کوچک (miRNA) یا RNA های گروهی از RNA های کنترل شود (۲۵-۲۸). miRNA ها گروهی از RNA های عملکردی غیر کدکننده کوچک هستند که تقریباً ۲۲ نوکلئوتید طول دارند و بیان ژن هدف را در مرحله پس از رونویسی کنترل می‌کنند (۲۹). miRNA ها به طور معمول توسط RNA Polymerase II به صورت رونوشت‌های اولیه طویل (Primary miRNA) یا pri-miRNA (رونویسی می‌شوند (۳۰) سپس بالجام تقسیمات اندونوکلئازی

بر مغز استخوان، درخون محیطی نیز به اثبات رسیده و با در نظر گرفتن امکان بهره‌گیری از این سلول‌ها، افق تازه‌ای در بحث پیوند پیش‌روی دانشمندان قرار گرفته است (۴۵). در واقع با اینکه جایگاه اصلی HSC در بالغین، مغز استخوان است ولی این سلول‌ها قادرند در فرآیندی که با عنوان موبیلیزاسیون شناخته می‌شود، از مغز استخوان به خون مهاجرت نمایند (۶). به سبب سخت و تهاجمی بودن جداسازی مستقیم این سلول‌ها از مغز استخوان، ترجیح بر استفاده از سلول‌های خون محیطی برای پیوند می‌باشد و سعی در گسترش روش‌هایی است که بتوان HSC مغز استخوان را با قدرت بیشتری وارد خون محیطی کرد (۶). موبیلیزاسیون سلول‌های CD34⁺ می‌تواند با بهره‌گیری از دوزهای بالای داروهای شیمی درمانی و یا استفاده از G-CSF تقویت شود (۴). در مقالات متعددی به بررسی عوامل مختلف دخیل در موبیلیزاسیون پرداخته شده و در این میان به نقش پراهمیت سیستم عصبی در این فرآیند اشاره گردیده است (۱۰-۱۲). مطالعات عمده در این زمینه با کشف اثرات تنظیمی سیستم عصبی سمپاتیک در خروج HSC از مغز استخوان، از طریق سیگنالینگ نوراپی نفرین، مهار عملکرد استئوبلاست‌ها و کاهش بیان SDF-1، در شرایط معمول فیزیولوژیک و همچنین متعاقب به کارگیری G-CSF، آغاز گردید (۱۳). نوروترانسمیترهای کاتکول آمینی در همراهی با سایتوکاین‌های میلئیدی، مستقیماً مهاجرت و توسعه‌ی HSC انسانی و به علاوه، تکثیر و موبیلیزاسیون سلول‌های پیش‌ساز موشی را In Vivo تنظیم می‌کنند و چنین اثراتی را از طریق گیرنده‌های آدرنرژیکی مربوطه به ویژه انواع β ، که بر سلول‌های مختلف وجود دارند، اعمال می‌نمایند (۱۴ و ۱۵). ایزوپروترنول یک آگونیست β -آدرنرژیکی غیر انتخابی است که اثرات احتمالی آن و سایر آگونیست‌ها و آنتاگونیست‌های β -آدرنرژیکی بر موبیلیزاسیون و بیان SDF-1 در موش‌ها، پیش‌تر مورد پژوهش قرار گرفته است (۱۶). ایزوپروترنول همچنین به عنوان

به منظور جداسازی به لوله ۱۵ فالکون (Sigma Aldrich, St Louis, MO, USA) حاوی فایکول به میزان هم حجم نمونه مغز استخوان برده شد و به مدت ۱۵ دقیقه در دور g ۴۰۰ سانتریفوژ گردید. آنگاه لایه‌ی حاوی سلول‌های تک هسته‌ای روی فایکول برداشته شد و بعد از انجام شستشو با PBS به یک فلاسک T75 حاوی محیط کشت متقل‌گردید که به صورت پایه شامل محیط DMEM است که با ۱۰درصد سرم گاوی (FBS) غنی شده است (GIBCO-BRL). متعاقب شکل‌گیری کلنی‌های سلولی، این کلنی‌ها با استفاده از تریپسین ۰/۰۵ درصد (GIBCO-BRL) جدا و به فلاسک جدیدی متقل‌گردیدند و به جهت تایید مارکرهای سطحی، مورد ارزیابی‌های فلوسیتوتمتری قرار گرفتند.

فلوسیتوتمتری و تمایز به استخوان و چربی: برای ارزیابی بیان مارکرهای سطحی، سلول‌ها پس از تریپسینه شدن و جداسازی از فلاسک‌های کشت، مورد شمارش قرار گرفتند. سپس در آلبومین سرم گاوی ۳ درصد، به صورتی که میزان 10^5 * سلول به ازای هر 100 میکرولیتر موجود باشد، به حالت سوسپانسیون در آمدند. بعد از ریختن 100 میکرولیتر از سوسپانسیون تهیه شده درون لوله‌های آزمایش، به‌هر یک، آنتی‌بادی‌های مورد نظر شامل CD34, CD44, CD73 و ایزوپیپ کتلر آن‌ها (eBioscience, San Diego, CA, USA) اضافه شده و پس از ۴۵ دقیقه قرار گیری در یخچال و شستشو با PBS، آنالیز فلوسیتوتمتری (Partec, Munster, Germany) بر روی نمونه‌ها انجام گرفت. جهت بررسی قابلیت تمایزی سلول‌های تکثیر شده به چربی و استخوان نیز، تعداد 10^4 * سلول درون چاهک‌های پلیت ۴ خانه ریخته شد و متعاقب چسبیدن سلول‌ها به کف چاهک، محیط تمایزی استخوان و چربی به آن‌ها اضافه گردید و به مدت ۲۱ روز هر سه روز یک‌بار تعویض محیط با این محیط‌ها صورت گرفت. بعد از گذشت این زمان، سلول‌ها با پارا فرم آلدھید ۴ درصد فیکس شدند و پس از رنگ‌آمیزی با آلیزارین قرمز (Alizarin Red) به نسبت ۱ به ۱ با

Dicer و Drosha RNase III ساختار بالغ و نهایی خود را به دست می‌آورند (۳۱). mRNA بالغ برای عمل خود در مجموعه‌ی RNA-Induced Silencing Complex (RISC) قرار گرفته اغلب به ناحیه ۳' UTR mRNA هدف متصل می‌شود و بسته به میزان مکمل بودن، یا ترجمه، پروتئین را مهار می‌کند و یا منجر به تجزیه‌ی mRNA می‌شود (۳۲ و ۳۳). miRNA‌ها می‌توانند با هدف گیری ژن‌های گوناگون در انواع سلول‌ها مانند MSC، اثرات مهمی بر فرآیندهای چرخه‌ی سلول همچون تکثیر و تمایز، داشته باشند. به طور مثال، افزایش بیان miR-210 می‌تواند برتکثیر و بقای MSC مغز استخوان موش‌ها، تاثیر بگذارد (۳۴) مشخص گردید که miR-23a و miR-886-3p نیز می‌توانند بیان SDF-1 در سلول‌های استرومایی مغز استخوان انسان، کاهش دهند (۳۵ و ۳۶). با توجه به اثرات این دو miRNA بر بیان SDF-1 miR-23a و miR-886-3p می‌توان چنین فرض نمود که بیان miR-23a و miR-886-3p نیز می‌تواند مستقیماً تحت تنظیمات سیستم عصبی واقع شود و این دو miRNA از جمله عوامل دخیل در موبیلیزاسیون HSC باشند. به منظور آزمودن این فرضیه، در این مطالعه، در ابتدا Mesenchy Stem Cell (MSC) از مغز استخوان انسانی جدا سازی و کشت شد. سپس با آگونیست β -آدرنرژیکی ایزوپروترنول تیمار گردید و در نهایت، میزان miR-23a و miR-886-3p در مرحله قبل و پس از تیمار با یکدیگر مورد مقایسه قرار گرفت.

روش بررسی

جداسازی و کشت سلول‌های بنیادی مزانشیمی: در این مطالعه سه نمونه‌ی مغز استخوان نرمال (مجوز اخلاق پزشکی به شماره ۳۶۹۱/۵۲۵) صادر شده از دانشگاه تربیت‌مدرس (مرکز تحقیقات فناوری بنیاخته تهیه شد. پس از رقیق‌سازی نمونه به نسبت ۱ به ۱ با PBS (GIBCO-BRL, Grand Island, NY, USA)

Adaptor Primer Oligo dT شامل یک بخش Oligo dT (مکمل با دم A) به همراه توالی منحصر به فرد Unique Sequence (انتهای ۵' قطعه، فرآیند رونویسی معکوس و ساخت cDNA miRNA صورت می‌گیرد. Unique Sequence موجود در انتهای ۵' cDNA ساخته شده، قابلیت استفاده از پرایمر منحصر به فرد Reverse Universal Reverse Primer (Universal Reverse Primer) موجود در کیت را برای ارزیابی‌های کمی بر روی تمامی انواع miRNA مورد نظر، Forward آورده و تنها نیاز به طراحی پرایمرهای Forward باشد.

Real Time PCR: بیان کمی miR-23a و miR-886-3p حاصل از نمونه‌های کنترل و تیمارشده ۱۲ و ۴۸ ساعته، با استفاده از miRNA QPCR Master Mix (Stratagene) Real Time PCR به صورت سه بار تکرار مورد ارزیابی‌های قرار گرفت. رنگ فلوئورسنت EvaGreen موجود SYBR Green Master Mix کیت مذکور، همانند در یک رنگ متصل‌شونده به DNA دو رشته‌ای است که نیاز به استفاده از پروب‌های اختصاصی را برای شناسایی محصولات، رفع می‌نماید. توالی پرایمرهای Forward مورداستفاده برای سنجش بیان hsa-miR-886 و hsa-miR-23 به ترتیب CTCAAGCGGTTACCTCCTCATG و ATCACATTGCCAGGGATT بوده و همچنین برای Universal Reverse Primer نیز از همان Reverse پرایmer استفاده شد که توالی پرایمر Forward آن به صورت AAATTGGAACGATACAGAGAAG تحلیل آماری: برای بررسی‌های آماری داده‌های به دست آمده از Real Time PCR، در ابتدا باروش $\Delta\Delta Ct$ میزان بیان miR-23a و miR-886-3p نسبت به U6 نرمال‌سازی شد و نتایج Quantitative Reverse Transcriptase PCR

جهت بررسی وجود رسوب کلسیم در تمایز به استخوان و Oil Red برای قطرات چربی داخل سلولی در تمایز به چربی، مورد مشاهده میکروسکوپی قرار گرفتند.

تیمار سلول‌ها با Isoproterenol: ایزوپروترنول به صورت یک ویال ۱۰۰ میلی‌گرمی محتوی پودر Isoproterenol hydrochloride (Sigma-Aldrich) برای هر بار تیمار سلولی، از غلظت ۱۰۰ میکرومولار در محیط کشت سلول‌ها استفاده شد. زمانی که سلول‌ها به همساری (Confluence) ۸۰-۸۵ درصد رسیدند، به گروههای مختلف تقسیم شده و تحت تیمار پیوسته با ایزوپروترنول ۱۰۰ میکرومولا رقرار گرفتند؛ به طوری که با تعویض محیط سلول‌ها، دارو نیز مجدداً به محیط کشت فلاسک اضافه می‌شد. در نهایت، یک گروه به عنوان کنترل در نظر گرفته شده و هیچ‌گونه تیماری بر روی آن انجام نگرفت و دو گروه دیگر نیز به مدت ۱۲ و ۴۸ ساعت تحت تیمار دارویی قرار گرفته و کشت شدند.

cDNA و ساخت RNA استخراج: پس از انجام مرحله‌ی تیمار سلولی، به منظور مقایسه بیان miR-23a و miR-886-3p در سلول‌های بنیادی مزانشیمی گروه کنترل و همچنین گروههای تیمارشده ۱۲ و ۴۸ ساعته، Total RNA با RNXTM(plus) (CinnaGen Inc, Tehran, Iran) بهره‌گیری از بر پایه اختلاف فازفل کلروفرم، استخراج گردید. برای ساخت cDNA از miRNA مستخرج از نمونه‌های کنترل و همچنین گروههای تیمارشده ۱۲ و ۴۸ ساعته نیز، از کیت High-Specificity miRNA QPCR Kit (Stratagene) شد. ساخت cDNA miRNA با استفاده از کیت مذکور، مبتنی بر دومرحله‌ی مجزا از هم است. در نخستین مرحله، واکنش پلی آدنیلاسیون (Poly Adenylation) صورت گرفته و طول miRNA موجود در Total RNA استخراج شده، با اضافه شدن یک دم A به انتهای آن، افزایش می‌یابد. در مرحله‌ی دوم نیز، با اتصال قطعه‌ی

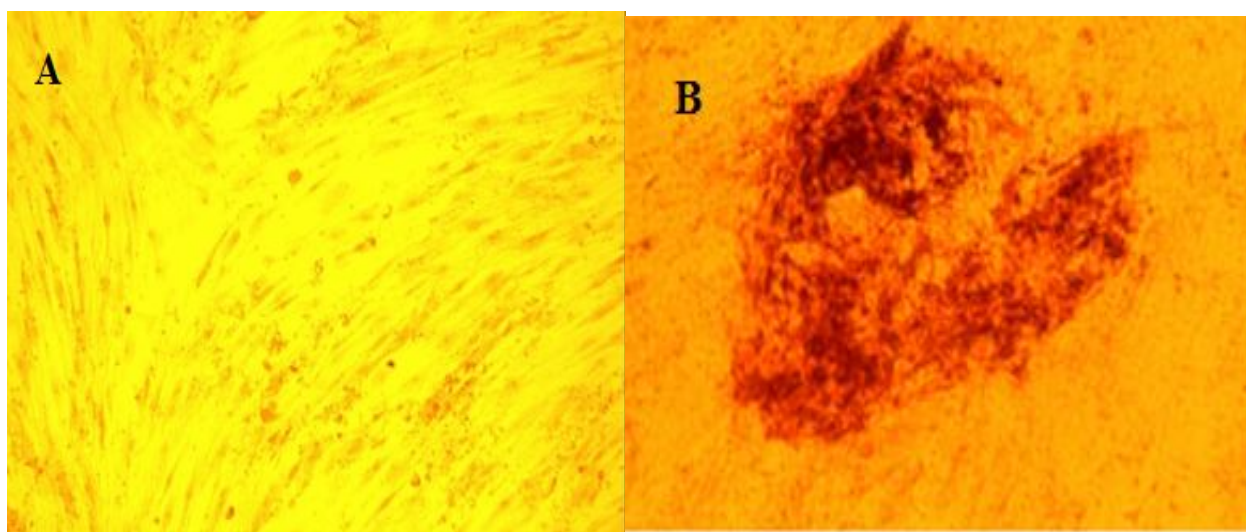
جداشده انتخاب شد و آنالیز فلوسیتومتری انجام گرفت. نتایج به دست آمده، موید مثبت بودن این سلول‌ها برای مارکرهای رده‌ی مزانشیمی شامل (۹۲/۶۴ درصد) CD44 و (۹۷/۶ درصد) CD73 و همچنین منفی بودن آن‌ها برای مارکرهای رده‌خونی مانند (۰/۴۵ درصد) CD34 بود (شکل ۲).

اثر افزایشی ایزوپروترنول بر بیان miR-886-3p در سلول‌های بنیادی مزانشیمی مغراستخوان: آنالیز بیان زن نشان داد که بیان p-3p miR-886-3p در طی تیمار سلول‌های بنیادی مزانشیمی با ایزوپروترنول افزایش پیدا می‌کند و به خصوص در ساعت ۴۸ پس از تیمار، این افزایش چشمگیر می‌نمود. بیان miR-886-3p در طی تیمار سلول‌های بنیادی مزانشیمی با ایزوپروترنول در ساعات ۱۲ و ۴۸ در مقایسه با سلول‌های بنیادی مزانشیمی تیمار نشده (کنترل) به ترتیب $3/5 \pm 0/43$ برابر و $75/23 \pm 4/79$ برابر بود و مقادیر بدست آمده در هر دو مورد به لحاظ آماری معنی دار بود (نمودار ۱).

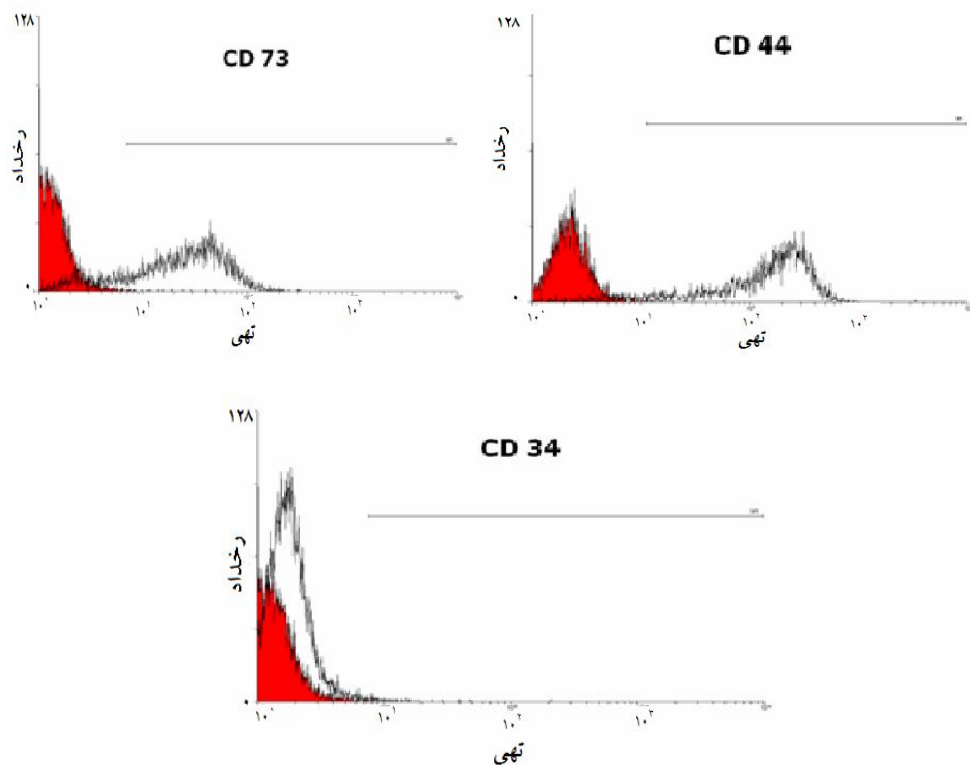
به صورت بیان نسبی زن، گزارش گردید. سپس با انتخاب روش آماری T-test، از نرم‌افزار Graph Pad و در نظر گرفتن $P < 0/05$ برای معنی داری نتایج، تحلیل آماری داده‌ها انجام گرفت. برای بررسی میزان اختلاف داده‌ها از میانگین شاخص پراکندگی انحراف معیار (SD) استفاده شد.

یافته‌ها

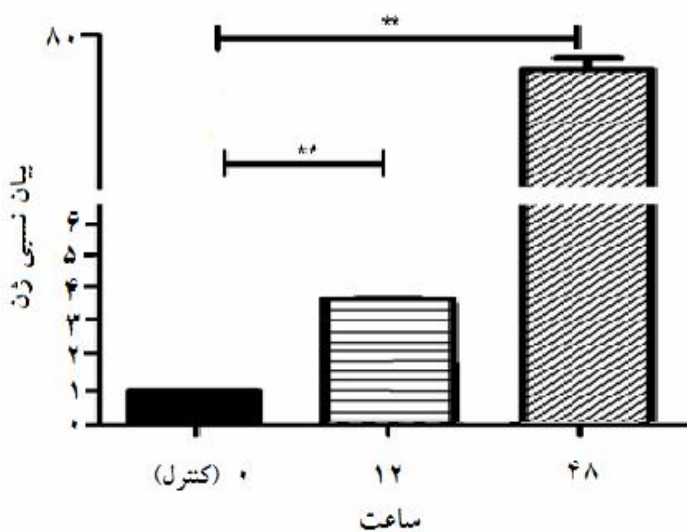
قابلیت تمایز سلول‌های جداشده به استخوان و چربی: در هفته‌ی دوم تمایز با محیط تمایزی استخوان، کریستال‌های کلسیم با رنگ آمیزی آلیزارین قرمز مشاهده شد که نشانه‌ی قابلیت تمایز این سلول‌ها به رده‌ی استئوبلاستی است. همچنین باگذشت حدود یک هفته از اضافه شدن محیط تمایزی چربی نیز، وجود واکوئل‌های چربی و تمایز سلول‌ها به رده آدیپوسیتی، با رنگ آمیزی Oil Red تایید گردید (شکل ۱). تایید مارکرهای معمول سلول‌های بنیادی مزانشیمی در سلول‌های جداشده: پانلی از مارکرهای مثبت و منفی سلول‌های بنیادی مزانشیمی برای تایید ماهیت سلول‌های



شکل ۱: قابلیت تمایز سلول‌های جدا شده به استخوان و چربی شکل (A) رسوب کلسیم رنگ شده با رنگ آلیزارین قرمز را نشان می‌دهد که نشانگر تمایز به رده استخوانی است. شکل (B) واکوئل‌های چربی رنگ شده با رنگ Oil Red را نشان می‌دهد که مشخص کننده تمایز به سلول‌های چربی است.



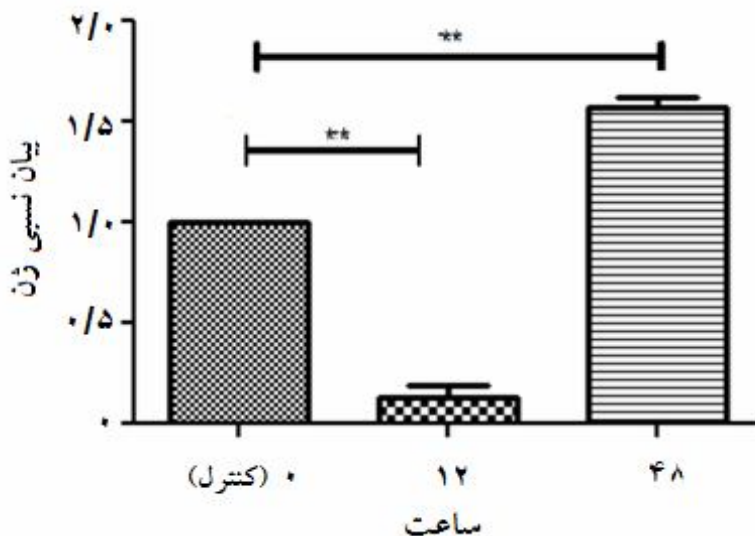
شکل ۲. مارکرهای سطحی سلول‌های بنیادی مزانشیمی جداسازی شده. سلول‌های جدا شده برای مارکرهای CD44 و CD73 مثبت و برای مارکر CD34 منفی هستند. گراف رنگی نشان دهنده ایزووتیپ است.



نمودار ۱. نتایج *miR-886-3p Quantitative Reverse Transcriptase PCR* در طول تیمار با ایزوپروتئزول ۱۰۰ میکرومولار. بیان *miR-886-3p* در ساعت ۱۲ و ۴۸ تیمار با ایزوپروتئزول، در مقایسه با شرایط کنترل افزایش معنی داری را نشان داد ($P<0.05$).

در مقایسه با افزایشی که در همین ساعت برای miR-886-3p مشهود است، ناچیز به نظر می‌رسد. بیان miR-23a در طی تیمار سلول‌های بنیادی مزانشیمی با ایزوپروترنول در ساعت ۱۲ و ۴۸ در مقایسه با سلول‌های بنیادی مزانشیمی تیمارنشده (کنترل) به ترتیب 13 ± 0.6 و 157 ± 0.6 برابر و برابر بود (نمودار ۲).

اثرات کاهشی و افزایشی ایزوپروترنول بر بیان miR-23a در سلول‌های بنیادی مزانشیمی مغز استخوان: بیان miR-23a در طی تیمار سلول‌های بنیادی مزانشیمی با ایزوپروترنول در ساعت ۱۲ تیمار نسبت به حالت کنترل دچار کاهشی معنی‌دار گشته و سپس مانند miR-886-3p در ساعت ۴۸ پس از تیمار، افزایش پیدا می‌کند ولی این افزایش با وجود معنی‌داری،



نمودار ۲. نتایج miR-23a Quantitative Reverse Transcriptase PCR در طول تیمار با ایزوپروترنول ۱۰۰ میکرومولار بیان miR-23a در ساعت ۱۲ تیمار با ایزوپروترنول، در مقایسه با شرایط کنترل کاهش و در ساعت ۴۸ افزایش معنی‌داری را نشان داد ($P < 0.05$).

دخالت مکانیسم‌های ثانویه به خصوص سیستم عصبی را مطرح کرد (۳۷) و این موضوع زمینه‌ی تحقیقات زیادی در راستای پررنگ کردن نقش این سیستم در خروج و لانه گزینی HSC گردید. در مطالعه‌ای که در سال ۲۰۰۸ توسط منذر انجام شد، مشخص گردید که مقدار HSC خون محیطی در طول شبانه روز تغییر می‌کند. وی گزارش داد که رهایش دوره‌ای HSC و بیان SDF-1 تحت تنظیم ترشحات شبانه‌روزی نورآدرنالین از سیستم عصبی سمپاتیک است و بر بیان SDF-1 اثر گذار می‌باشد. همچنین در اثر تیمار کشت مغز استخوان میلوثید اولیه موش‌ها با ایزوپروترنول، مهار بیان SDF-1 را به‌طور برجسته در سلول‌های استرومایی و

بحث نتایج به دست آمده از این مطالعه نشان داد که ایزوپروترنول باعث افزایش بیان miR-886-3p می‌شود. همچنین اثر القایی این آگونیست β -آدرنرژیکی بر بیان miR-23a نیز در ساعت ۴۸ پس از تیمار، دیده شد. در مطالعات پیشین، اثرات سیستم عصبی بر فرآیند موبیلیزاسیون HSC و بیان SDF-1 به عنوان یک عامل کلیدی این فرآیند، به فراوانی مورد بررسی قرار گرفته است. لوسک اولین بار در سال ۲۰۰۴ مدعی شد که در صورت نبود آنزیم‌های نوتروفیلی مانند الاستازها و متالوپروتئازها در مغز استخوان، حرکت HSC همچنان ادامه خواهد داشت و به این ترتیب پیشنهاد

این دو miRNA از عوامل مداخله کننده در فرآیند موبیلیزاسیون باشند. نتایج به دست آمده فرضیه‌ی مورد نظر را تایید کردند و ۴۸ ساعت پس از به کارگیری ایزوپروترنول، بیان هر دو miRNA مورد مطالعه، افزایش یافت که در این میان، افزایش بیان miR-886-3p قابل توجه بود. miR-23a نیز با وجود افزایشی که در ساعت ۴۸ پس از تیمار نشان داد، در ساعت ۱۲، کاهش بیان داشت که این امر را می‌توان با افزایش گذراي بیان mRNA هدف آن (SDF-1) تحت تاثیر آگونیست‌های β -آدرنرژیکی همچون ایزوپروترنول مرتبط دانست. هرچند نتایج حاصله از این مطالعه بیانگر اثر القایی ایزوپروترنول بر بیان هر دو miRNA مورد بررسی است، با این حال چگونگی این اثر مشخص نیست. در این زمینه احتمالات متنوعی از جمله اثر ایزوپروترنول در فعل شدن برخی عوامل رونویسی که می‌توانند بر بیان miR-886-3p و miR-23a تاثیرگذار باشند و یا بروز انواع تغییرات اپیژنتیکی برناوری تنظیمی‌زن‌های این دو miRNA، می‌تواند مطرح گردد که روشن شدن این مطلب خود نیازمند پژوهش‌های بیشتری است.

نتیجه‌گیری

با توجه به نتایج به دست آمده می‌توان miR-886-3P را جز عوامل دخیل در موبیلیزاسیون در نظر گرفت زیرا تحت تاثیر عامل القاگر موبیلیزاسیونی ایزوپروترنول دچار افزایش بیان گردیده و با توجه به نقش شناخته شده آن در تنظیم SDF-1 سلول‌های بنیادی مزانشیمی مغز استخوان، احتمالاً می‌تواند بیان SDF-1 را در سلول‌های مذکور کاهش دهد و بدین ترتیب موجب القای موبیلیزاسیون HSC به خون محیطی شود. در نتیجه امکان دارد miR-886-3P نیز از عوامل اجرایی موبیلیزاسیون باشد، و در طی این فرآیند دچار تغییر بیان شود. همچنین، با توجه به افزایش کم ولی معنی‌دار miR-23a در ساعت ۴۸ پس از تیمار، این miRNA را نیز

همچنین افزایش معنی‌دار پروژنیتورهای ریزش شده به سوپرناتانت را مشاهده نمود (۱۶) شاهدی دیگر بر ادعای تاثیر سیستم عصبی بر بیان SDF-1 و موبیلیزاسیون، مطالعه‌ای بود که در سال ۲۰۱۱ انجام گرفت. در این مطالعه به اثربوراپی نفرین بر روی SDF-1 پرداخته شد و با تزریق نوراپی نفرین به موش‌ها، شرایط استرسی را به آن‌ها القا نموده و نشان دادند که به دنبال تزریق نوراپی نفرین، ترشح SDF-1 از مغز استخوان به خون محیطی افزایش یافته و هم زمان از مقدار آن در مغز استخوان کاسته می‌شود (۱۴) یافته‌های حاضر را می‌توان بر پایه‌ی اهمیت سیستم عصبی و آگونیست‌های β -آدرنرژیکی بر بیان SDF-1 و موبیلیزاسیون HSC تفسیر کرد. از سوی دیگر، در مطالعه‌ای که در سال ۲۰۱۰ انجام شد، نشان دادند که miR-886-3p بیان SDF-1 را در سلول‌های استرومایی مغز استخوان انسان کاهش می‌دهد. این گروه با بررسی دو رده سلولی HS27a و HS5 مشتق شده از کشت Primary مغز استخوان انسان که بیان متفاوتی از SDF-1 را نشان می‌دادند، دریافتند که miR-886-3p مستقیماً miR-886-3p را هدف گیری می‌کند و بیان و عملکرد آن را کاهش می‌دهد. همچنین، سلول‌های استرومایی CD146^{hi} مغز استخوان، در مقایسه با گروه CD146^{lo} بیان بالایی از SDF-1 و در مقابل سطوح کمتری از miR-886-3p را بیان می‌کردند، که این موضوع می‌تواند نشانگر اثر تنظیمی این miRNA بر بیان SDF-1 در سلول‌های مذکور باشد (۳۵) همچنین در مطالعه‌ای دیگر که پیش از این در سال ۲۰۰۸ انجام گرفته بود، اثر مهاری miR-23a نیز بر کاهش بیان SDF-1 در MSC‌های مشتق از مغز استخوان، مشخص گردید با توجه به این مطالب، احتمال اثر گذاری آگونیست β -آدرنرژیکی ایزوپروترنول بر بیان miR-886-3p و miR-23a مطرح شده و چنین فرض شد که احتمالاً اثر این آگونیست‌های عصبی بر بیان SDF-1 از طریق miRNA‌های تنظیم کننده آن (مانند miR-23a و miR-886-3p)، صورت می‌گیرد و ممکن است

تاثیر ایزوپروترنول می‌تواند تنظیم‌کننده‌ی بیان SDF-1 در طی این فرآیند باشد.

References

- 1- Horowitz MM, Gale RP, Sondel PM, et al. Graft-versus-leukemia reactions after bone marrow transplantation. *Blood*. 1990; 75: 555-62.
- 2- Sykes M, Nikolic B. Treatment of severe autoimmune disease by stem-cell transplantation. *Nature*. 2005; 435: 620-7.
- 3- Copelan EA. Hematopoietic stem-cell transplantation. *N Engl J Med*. 2006; 354: 1813-26.
- 4- Wright DE, Wagers AJ, Gulati AP, Johnson FL, Weissman IL. Physiological migration of hematopoietic stem and progenitor cells. *Science*. 2001; 294: 1933-6.
- 5- Anderlini P, Körbling M. The use of mobilized peripheral blood stem cells from normal donors for allografting. *Stem cells*. 1997; 15: 9-17.
- 6- Orkin SH, Zon LI. Hematopoiesis: an evolving paradigm for stem cell biology. *Cell*. 2008; 132: 631-44.
- 7- Levesque J-P, Winkler IG. Mobilization of hematopoietic stem cells: state of the art. *Curr Opin Organ Transplant*. 2008; 13: 53-8.
- 8- Motabi IH, DiPersio JF. Advances in stem cell mobilization. *Blood Rev*. 2012; 26: 267-78.
- 9- Siena S, Bregni M, Brando B, Ravagnani F, Bonadonna G, Gianni AM. Circulation of CD34+ hematopoietic stem cells in the peripheral blood of high-dose cyclophosphamide-treated patients: enhancement by intravenous recombinant human granulocyte-macrophage colony-stimulating factor. *Blood*. 1989; 74: 1905-14.
- 10- Dar A, Kalinkovich A, Netzer N, et al. AMD3100 signals via the nervous system, inducing release to the circulation of bone marrow SDF-1, which is crucial for progenitor cell mobilization. *Blood*. (ASH Annual Meeting Abstracts). 2006; 108: Abstract, 1315.
- 11- Mendez-Ferrer S, Battista M, Frenette PS. Cooperation of β 2-and β 3-adrenergic receptors in hematopoietic progenitor cell mobilization. *Ann NY Acad Sci*. 2010; 1192: 139-44.
- 12- Spiegel A, Shivtiel S, Kalinkovich A, et al. Catecholaminergic neurotransmitters regulate migration and repopulation of immature human CD34+ cells through Wnt signaling. *Nat Immunol*. 2007; 8: 1123-31.
- 13- Katayama Y, Battista M, Kao W-M, et al. Signals from the sympathetic nervous system regulate hematopoietic stem cell egress from bone marrow. *Cell*. 2006; 124: 407-21.
- 14- Dar A, Schajnovitz A, Lapid K, et al. Rapid mobilization of hematopoietic progenitors by AMD3100 and catecholamines is mediated by CXCR4-dependent SDF-1 release from bone marrow stromal cells. *Leukemia*. 2011; 25: 1286-96.
- 15- Muthu K, Iyer S, He L-K, et al. Murine hematopoietic stem cells and progenitors express

می‌توان از جمله عوامل مداخله‌کننده در فرآیند موبیلیزاسیون درنظر گرفت و تغییرات بیانی آن متعاقب

- adrenergic receptors. *J Neuroimmunol.* 2007; 186: 27-36.
- 16- Méndez-Ferrer S, Lucas D, Battista M, Frenette PS. Haematopoietic stem cell release is regulated by circadian oscillations. *Nature.* 2008; 452: 442-7.
- 17- Almquist A, Goldenberg IF, Milstein S, et al. Provocation of bradycardia and hypotension by isoproterenol and upright posture in patients with unexplained syncope. *N Engl J Med.* 1989; 320: 346-51.
- 18- Sorrentino A, Ferracin M, Castelli G, et al. Isolation and characterization of CD146 multipotent mesenchymal stromal cells. *Exp Hematol.* 2008; 36: 1035-46.
- 19- Ponomaryov T, Peled A, Petit I, et al. Induction of the chemokine stromal-derived factor-1 following DNA damage improves human stem cell function. *J Clin Invest.* 2000; 106: 1331-9.
- 20- Ceradini DJ, Kulkarni AR, Callaghan MJ, et al. Progenitor cell trafficking is regulated by hypoxic gradients through HIF-1 induction of SDF-1. *Nat Med.* 2004; 10: 858-64.
- 21- Sugiyama T, Kohara H, Noda M, Nagasawa T. Maintenance of the hematopoietic stem cell pool by CXCL12-CXCR4 chemokine signaling in bone marrow stromal cell niches. *Immunity.* 2006; 25: 977-88.
- 22- Petit I, Szypers-Kravitz M, Nagler A, et al. G-CSF induces stem cell mobilization by decreasing bone marrow SDF-1 and up-regulating CXCR4. *Nat Immunol.* 2002; 3: 687-94.
- 23- Heissig B, Hattori K, Dias S, et al. Recruitment of stem and progenitor cells from the bone marrow niche requires MMP-9 mediated release of kit-ligand. *Cell.* 2002; 109: 625-37.
- 24- Fedyk ER, Jones D, Critchley HOD, Phipps RP, Blieden TM, Springer TA. Expression of stromal-derived factor-1 is decreased by IL-1 and TNF and in dermal wound healing. *J Immunol.* 2001; 166: 5749-54.
- 25- Nakayama T, Mutsuga N, Tosato G. Effect of fibroblast growth factor 2 on stromal cell-derived factor 1 production by bone marrow stromal cells and hematopoiesis. *J Natl Cancer Inst.* 2007; 99: 223-35.
- 26- Lu MH, Li CZ, Hu CJ, et al. microRNA-27b suppresses mouse MSC migration to the liver by targeting SDF-1 alpha in vitro. *Biochem Biophys Res Commun.* 2012; 421: 389-95.
- 27- Solingen C, Boer HC, Bijkerk R, et al. MicroRNA-126 modulates endothelial SDF-1 expression and mobilization of Sca-1+/Lin- progenitor cells in ischaemia. *Cardiovasc Res.* 2011; 92: 449-55.
- 28- Morenos L, Saffery R, Mechinaud F, et al. Evaluation of microRNA expression in patient bone marrow aspirate slides. *PloS one.* 2012; 7: e42951.
- 29- Wu L, Zhou H, Zhang Q, et al. DNA methylation mediated by a microRNA pathway. *Mol Cell.* 2010; 38: 465-75.
- 30- Davis-Dusenberry BN, Hata A. Mechanisms of control of microRNA biogenesis. *J Biochem.* 2010; 148: 381-92.

- 31- Budhu A, Ji J, Wang X. The clinical potential of microRNAs. *J Hematol Oncol.* 2010; 3: 37.
- 32- Minayi N, Alizadeh S, Dargahi H, et al. The Effect of miR-210 Up-regulation on proliferation and survival of mouse bone marrow derived mesenchymal stem cell. *Int J Hematol Oncol Stem Cell Res.* 2014; 8: 15.
- 33- Pillai MM, Yang X, Balakrishnan I, Bemis L, Torok-Storb B. MiR-886-3p down regulates CXCL12 (SDF1) expression in human marrow stromal cells. *PLoS one.* 2010; 5: e14304.
- 34- Fierro F, Poitz D, Nolta JA, et al. MicroRNA mir-23a regulates SDF-1alpha expression in human bone marrow-derived mesenchymal stem cells. *Blood.* 2008; 112: 841.
- 35- Levesque J-P, Liu F, Simmons PJ, et al. Characterization of hematopoietic progenitor mobilization in protease-deficient mice. *Blood.* 2004; 104: 65-72.

The Effect of β -Adrenergic Agonist Isoproterenol on miR-886-3p and miR-23a Expression in Human Bone Marrow Mesenchymal Stem Cells

Zamani H¹, Kaviani S¹, Atashi A¹, Parhizkar F¹

¹Dept. of Hematology, Faculty of Medicine, Tarbiat Modares University, Tehran, Iran

Corresponding Author: Kaviani S, Dept. of Hematology, Tarbiat Modares University, Tehran, Iran

E-mail: kavianis@modares.ac.ir

Received: 3 Jun 2014 **Accepted:** 30 Aug 2014

Background and Objective: Mobilization of Hematopoietic Stem Cells (HSCs) for transplantation and the importance of β -adrenergic signals in induction of this process have been well investigated. However, little is known about the role of β -adrenergic signals in mobilization of HSCs and factors influenced by these signals. The Chemokine Stromal Derived Factor -1 (*SDF-1*) which is expressed by human bone marrow-derived mesenchymal stem cells (hMSCs), has a key role in mobilization of HSCs. In addition, *miR-886-3p* and *miR-23a* can regulate the expression of *SDF-1* in hMSCs. In this study, to investigate the role of *miR-886-3p* and *miR-23a* in mobilization process, expression of both miRNAs was evaluated in hMSCs treated by Isoproterenol (a β -adrenergic agonist).

Materials and Methods: hMSCs were isolated from human bone marrow and cultured. Following flowcytometric analysis, the cells were treated with 100 μ M isoproterenol. Total RNA was extracted at 12 and 48 hours post treatment, and also from untreated hMSCs as control. Then, *miR-886-3p* and *miR-23a* expression levels were quantified by quantitative Reverse Transcriptase PCR.

Results: The expression level of *miR-886-3p* increased significantly at 12 and 48 hours post treatment ($P<0.05$). In addition, the expression level of *miR-23a* decreased at 12 hours post treatment and increased significantly at 48 hours post treatment ($P<0.05$).

Conclusion: Isoproterenol induces *miR-886-3p* in hMSCs. MiR-23a is primarily decreased, and then increased due to treating with isoproterenol. So both miRNAs can contribute to mobilization process.

Key words: Mesenchymal Stem Cells - *miR-886-3p* - *miR-23a* - Isoproterenol